Г. С. ШТЕЙНБЕРГ

О ВЗРЫВНОМ ОБРАЗОВАНИИ КАЛЬДЕР

(Представлено академиком М. А. Садовским 8 VI 1971)

В настоящее время термии кальдера, по существу, является морфологическим, а не генетическим и практически охватывает все отрицательные вулканические формы, занимающие промежуточное положение между кратерами и вулкано-тектоническими депрессиями. В вулканологической литературе приходится встречаться с кальдерами обрушения, эксплозивными, эрозионными и др. (¹, ҙ, ¹¹). Однако механизм образования кальдер неясен, и определения, указывающие на генезис, следует воспринимать как предположительные.

Учитывая, что пространственно с кальдерами связаны отложения огромных масс пемз и игнимбритов, в ряде работ (10-12) высказывается предположение о преимущественно эксплозивном (взрывном) генезисе кальдер. Представляется целесообразным рассмотреть вопрос о взрывном образовании кальдер, используя хорошо разработанную, экспериментально обоснованную теорию взрыва на выброс.

Рассматривая кальдеру как воронку взрыва, мы в большинстве случаев имеем только один параметр, характеризующий ее радиус. В некоторых случаях по результатам гравиметрических работ (4, 10-12) можно оценить дефект масс, а по геологическим наблюдениям — площадь распространения взрывных отложений и их объем.

Таблица 1

	По (6)	По (²)	Оценка автора
Энергия, эрг Глубина кратера, м Глубина центра взрыва, м	$ \begin{array}{c c} 1,2 \cdot 10^{24} \\ 600 \\ - \end{array} $	0,8·10 ²⁴ 500 —	1,0.1024

Характерные размеры взрывной воронки определяются параметрами источника взрыва и среды, в которой взрыв происходит, и в общем виде запишутся (5):

$$\frac{R}{W} = F\left(\frac{E}{\rho g W^4}; \frac{E}{\sigma W^3}; \frac{E}{p_0 W^3}; \frac{r_0}{W}; \gamma; k\right),\tag{1}$$

где R — радиус воронки, W — кратчайшее расстояние от центра взрыва до поверхности (линия наименьшего действия), k — коэффициент внутреннего трения, ρ — плотность пород, σ — прочность пород, p_0 — атмосферное давление, E — энергия взрыва, r_0 — радиус полости, γ — показатель адиабаты.

Как показали работы по моделированию крупных взрывов на выброс (5), радиус воронки связан с перечисленными выше параметрами зависимостью:

$$R = W\left(0.6 + \lg \frac{E}{\varrho gW^4 + \varrho W^3 + \sigma W^3}\right). \tag{2}$$

Поясняя физический смысл этого выражения, отметим, что $E / \rho g W^4 = E / \rho g W^3 W$ отражает затрату энергий на перемещение выброшенного материала в поле $E/p_0W^3 =$ силы тяжести; $=Ep_0W^2W$ — энергию па преодоление атмосферного давления и $E / \sigma W^3$ — энергию на разрушение (раздробление) породы. Сопоставление размеров воронок в модельных экспериментах с натурными взрывами на выброс показало хорошую сходимость. Следует отметить, что энергия взрывов в лабораторных экспериментах составляла от 10⁵ до 10⁸ эрг, а при натурных — от 10^{13} до 10^{18} эрг, т.е. установленная закономерность оказалась справедливой в широком диапазоне энергий.

Уравнение (2) по существу связывает три величины: R, W и E (ρ и σ можно считать известными), из которых обычно известна одна (R). Вследствие этого уравнение (2) может быть решено в параметрическом виде. В качестве параметра целесообразно выбрать величину E. Решение уравнения (2) приведено на рис. 1. В расчетах принято: σ =

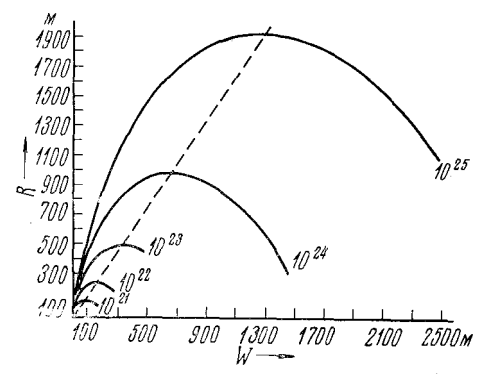


Рис. 1. Параметрическое решение уравнения (2) p=1атм., $\sigma=300$ кг/см²

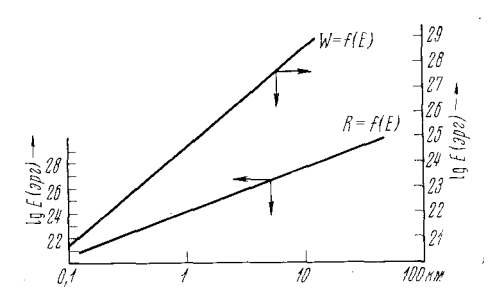


Рис. 2. Зависимости R=f(E) при оптимальном W и W=f(E) при R_{\max}

 $=300~{\rm kr/cm^2},~p_0=1~{\rm arm.},~\rho=2.5~{\rm r/cm^2}.~{\rm Ha}$ рис. 2 даны зависимости $R_{\rm max}=f(E)$ при оптимальном W и W=f(E) при $R_{\rm max}.$ Применяя найденное решение, используем принцип наименьшего действия (2), справедливость которого применительно к геологическим процессам доказана (3) и в дан-

Таблица 2

Объект	Поперечные размеры кальдеры, кратера, км	Радиус, принятый в расче- тах, км	Энер- гия взры- ва, эрг	Глубина центра взрыва, км		
Курильские острова						
Кальдера Головнина, оз. Кипящее Вулкан Менделеева, вершинный кратер Кальдера Львиная Пасть Кальдера Тау Русыр Кальдера Заварицкого Пик Прево Вулкан Ушишир Вулкан Матуа	$ \begin{vmatrix} 0.5 \times 0.4 \\ 1.4 \\ 9 \times 6.5 \\ 7.5 \\ 3.3 \times 2.7 \\ 0.66 \times 0.45 \\ 1.6 \\ 0.25 \times 0.30 \end{vmatrix} $	$ \begin{vmatrix} 0,22\\0,7\\3,8\\3,75\\1,45\\0,27\\0,8\\0,13 \end{vmatrix} $	$ \begin{array}{c c} 2 \cdot 10^{26} \\ 2 \cdot 10^{26} \\ 5 \cdot 10^{24} \\ 2 \cdot 10^{22} \end{array} $	$ \begin{vmatrix} 0,50-0,55\\ 2,0-3,0\\ 2,0-3,0\\ 0,75-1,0\\ 0,20-0,25\\ 0,55-0,60 \end{vmatrix} $		
Камчатка						
Вулкан Авача (Сомма) Кратер Чаша, Толмачев дол I II Маар Валентина, район Карымского вулкана Маар Галя, район Кроноцкого вулкана	$ \begin{vmatrix} 4,1\\0,9\\0,4\\0,74\\1,4\times1,1 \end{vmatrix} $	$ \begin{array}{c c} 2,05 \\ 0,45 \\ 0,20 \\ 0,37 \\ 0,62 \end{array} $	$ \begin{vmatrix} 2 \cdot 10^{25} \\ 9 \cdot 10^{23} \\ 7 \cdot 10^{21} \\ 5 \cdot 10^{22} \end{vmatrix} $,		
Кратер Таня. 1, район вулкана Толбачик	0,4	0,4		0,35-0,60 0,25-0,4		

ном случае состоит в получении максимально возможной воронки при запанной эпергии взрыва.

Проверим получение решение на примере вулкана Безымянный (эксплозивное извержение 1956 г.), для которого имеются независимые определения энергии (6 , 7). По графику (рис. 1) находим, что R=1000 м соответствует $E=1.0\cdot 10^{24}$ эрг и W=700 м.

Как видно из приведенной табл. 1, сходимость хорошая.

Аналогичным образом найдем, что для мощного эксплозивного извержения вулкана Шивелуч (1964 г.), полагая, что повый кратер (3,0 ×

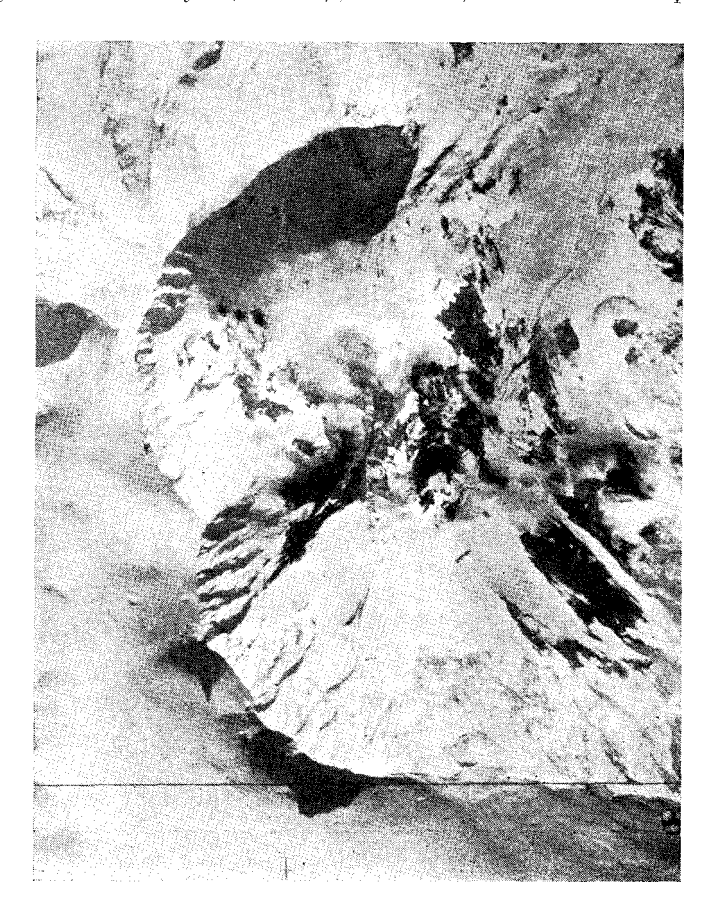


Рис. 3. Взрывной кратер Вулкана Шивелуч, извержения 1964 г. (фото автора)

 \times 1,5 км) образовался в результате одного взрыва (8), эпергия взрыва составит $2 \cdot 10^{24}$ эрг, а глубина центра взрыва 700-800 м. Если же считать, что взрывов было два, что судя по конфигурации кратера (рис. 3) представляется более вероятным, энергия взрывов и глубина их центров составят соответственно: $5 \cdot 10^{22}$ эрг и 200-400 м для северного кратера и $3 \cdot 10^{23}$ эрг и 300-700 м для южного. Рассчитанные аналогичным образом параметры, характеризующие эксплозивные формы различных вулканических объектов Камчатки и Курильских островов, приведены в табл. 2.

Рассмотрим некоторые выводы, следующие из решения уравнения (2), применительно к кальдерам. Предварительно необходимо определить диапазон изменений параметра E. В первую очередь оценим верхний предел. Учитывая, что энергия сильнейших землетрясений в земной коре и верхней мантии не превышает $10^{25}-10^{26}$ эрг и полагая, что значения энергии,

мгновенно реализуемые при взрывах в верхних горизонтах земной коры, их не превосходят, в качестве максимального значения можно принять $E=5\cdot 10^{26}$ эрг.

По графику W=f(E) (рис. 1) находим, что взрывы, которые могут привести к образованию кальдер, происходят на глубинах менее 3,5 км, т. е. в самых верхних горизонтах земной коры. Из рис. 1 видно, что при взрывах мощностью $5\cdot 10^{26}$ эрг максимальный диаметр воронки не превысит 11 км, т. е. кальдеры диаметром более 11 км взрывным путем образоваться не могли. Соответственно, предположение о взрывном генезисе таких крупных кальдер, как Асо, Куттяро (11) ошибочно. Как видно из рис. 1, для образования кальдер диаметром 20-25 км потребовались бы взрывы мощностью в $10^{28}-10^{29}$ эрг, что на 2-3 порядка больше допустимых значений.

Полученные граничные значения ($W \leqslant 3.5$ км; $D \leqslant 11$ км) являются верхними оценками, так как предполагается, что центр взрыва располагается на оптимальной глубине. Кроме того, следует отметить, что только в первом приближении вулканический взрыв можно рассматривать как точечный взрыв на выброс. Резкое снижение давления в полости взрыва после взламывания лавовой пробки или пород, залегающих выше полости взрыва, приводит к увеличению рабочей массы (летучих, выделившихся из лавы), т. е. масса «взрывчатого вещества» при вулканическом взрыве — величина переменная, увеличивающаяся в процессе развития взрыва. Соответственно во времени вулканический взрыв заметно растянут по сравнению с химическим или ядерным.

Автор выражает благодарность И. В. Мелекесцеву за представленные данные по взрывным кратерам и кальдерам Курильских островов и

М. Г. Сербуленко за помощь в расчетах.

Институт вулканологии Дальневосточного научного центра Академии наук СССР Петропавловск-Камчатский Поступило 28 V 1971

ЦИТИРОВАННАЯ ЛИТЕРАТУРА

¹ В. И. Влодавец, Изв. АН СССР, сер. геол., № 5 (1944); В. И. Влодавец, Б. И. Пийп, Бюлл. вулканологич. станции, № 25 (1957). ² М. Плапк, Сборн. Вариационные принципы механики, 1959. ³ И. Г. Клушин, Зап. Лепингр. горн. инст., 46, в. 2 (1963). ⁴ М. И. Зубин, Б. В. Иванов, Г. С. Штейнберг, Геология и геофизика, № 1 (1971). ⁵ М. А. Садовский, В. В. Адушкин и др., Физика горения и взрыва, № 1 (1967). ⁶ Г. С. Горшков, Г. Е. Богоявленская, Вулкан Безымянный и особенности его последнего извержения 1963—1965, «Наука», 1966. ⁷ Ю. Н. Рябинин, В. П. Родионов, В кн. Вулканизм и глубинное строение Земли, «Наука», 1969. ⁸ Г. С. Горшков, Ю. М. Дубик, В кн. Вулканы и извержения, «Наука», 1969. ⁹ Н. Williams, Univ. Calif. Publ. Bull. of the Dept. Geol. Sci., 25, № 6 (1941). ¹⁰ I. Yokoyama, J. Earth., 6, № 2 (1958). ¹¹ I. Yokoyama, Nature, 191, № 4792 (1961). ¹² I. Yokoyama, Structure Calderas and Gravity Anomaly. Intern. Symp. on Volcan. Japan, 1962.